

## УФ КАТОДОЛЮМИНЕСЦЕНЦИЯ МОНОКРИСТАЛЛОВ ZnS:O

А.М. Ахекян, В.И. Козловский, Ю.В. Коростелин, Я.К. Скасырский, П.В. Шапкин

В УФ области спектра низкотемпературной катодолюминесценции монокристаллов ZnS, выращенных из газовой фазы, с различной концентрацией кислорода (до  $10^{20} \text{ см}^{-3}$ ) обнаружена новая полоса излучения с максимумом коротковолновой компоненты 330 нм, связанная с аннигиляцией экситонов, локализованных на изоэлектронных центрах  $O_S$ .

На основании обобщения экспериментальных данных и проводя аналогию с GaP:N, авторы монографии /1/ приходят к выводу, что изолированный атом кислорода на месте серы ( $O_S$ ), а также центры, состоящие из двух таких атомов, образуют совокупность дискретных уровней в запрещенной зоне ZnS и являются эффективными центрами излучательной рекомбинации. Приводимые далее результаты исследования катодолюминесценции монокристаллов ZnS:O, хотя и объясняются здесь на основе модели излучательной аннигиляции экситонов на изоэлектронных центрах, тем не менее не соответствуют данным, представленным в /1/.

Исследовались монокристаллы ZnS кубической модификации с дефектами упаковки, выращенные из газовой фазы в кварцевых ампулах при  $T \approx 1200^\circ\text{C}$  по методу, близкому к описанному в /2/. Кислород поступал в газовую среду из загрузки, стенок ампулы, а также присутствовал в виде примеси газа-наполнителя. Концентрация  $O_S$  в кристалле регулировалась путем изменения парциального давления серы с помощью введения дополнительного источника S или добавлением в нейтральный газ-наполнитель водорода, эффективно связывающего кислород.

Относительное содержание кислорода в образцах контролировалось с помощью лазерного масс-спектрометра LAMMA-1000. На рис. 1 представлены масс-спектограммы двух образцов, выращенных в инертном газе без подпитки серой и с подпиткой серой при температуре источника подпитки  $T_S = 342^\circ\text{C}$ . Видно, что концентрация кислорода в ZnS существенно уменьшается (на рис. 1 не менее, чем на два порядка) при выращивании в инертном газе с подпиткой S. Путем сравнения линии O с линией изотопа  $S^{34}$ , природное содержание которого составляет 4% от всей серы, и предполагая, что эффективность образования ионов  $S^+$  и  $O^+$  примерно одинакова, можно оценить полную концентрацию кислорода в образце, выращенном без подпитки S, значением порядка  $10^{20} \text{ см}^{-3}$ .

Катодолюминесценция ZnS исследовалась на установке, подробно описанной в /3/, а методика подготовки образцов была как в /4/. На рис. 2 представлены спектры катодолюминесценции при  $T = 35 \text{ K}$ , энергии электронов  $E = 10 \text{ кэВ}$  и плотности тока  $j = 10^{-5} \text{ А} \cdot \text{см}^{-2}$  четырех образцов ZnS, выращенных в различных условиях, и спектры отражения двух из этих образцов. Спектр кристалла, выращенного в смеси водорода с инертным газом (кривая 1), представляет собой типичный спектр относительно чистого кристалла соединений  $\text{A}_{\text{II}}\text{B}_{\text{VI}}$ , содержащий линии излучения свободного экситона A, и экситонно-примесных комплексов  $I_1$  и  $I_2$ . В спектре излучения кристалла, выращенного в инертном газе без подпитки S (кривая 4), вместо линий A,  $I_1$ ,  $I_2$  и LO-фононных повторений наблюдается новая (в литературе не описанная) асимметричная полоса излучения, имеющая структуру и максимум коротковолновой компоненты вблизи 330 нм. Экситонная линия в спектре отражения (кривая 4') сильно уширена и сдвинута в длинноволновую сторону по сравнению с экситонной линией в спектре отражения чистого кристалла (кривая 1').

По мере увеличения подпитки S сначала структура новой полосы становится более отчетливой из-за уменьшения вклада длинноволновых компонент и появляется излучение вблизи экситонной линии в спектре отражения (кривая 3), а затем интенсивность новой полосы становится малой по сравнению с интенсивностью излучения свободного экситона и интенсивностью излучения с явно выраженной LO-фононной структурой и максимумом бесфононной линии  $\lambda_m = 336 \text{ нм}$  (кривая 2). Согласно /4/, это излучение имеет

донорно-акцепторную природу, наблюдается в образцах, отожженных в парах серы, и связано с собственными точечными дефектами. Однако в экспериментах по исследованию влияния степени отклонения от стехиометрического состава на излучательные свойства ZnS /4/ линия излучения с  $\lambda_m \approx 330$  нм, обсуждаемая здесь, обнаружена не была. Учитывая это и сопоставляя кривые 2 и 4 на рис. 2 с соответствующими масс-спектроскопическими данными, представленными на рис. 1, приходим к выводу, что новая полоса излучения с  $\lambda_m \approx 330$  нм связана с кислородом.

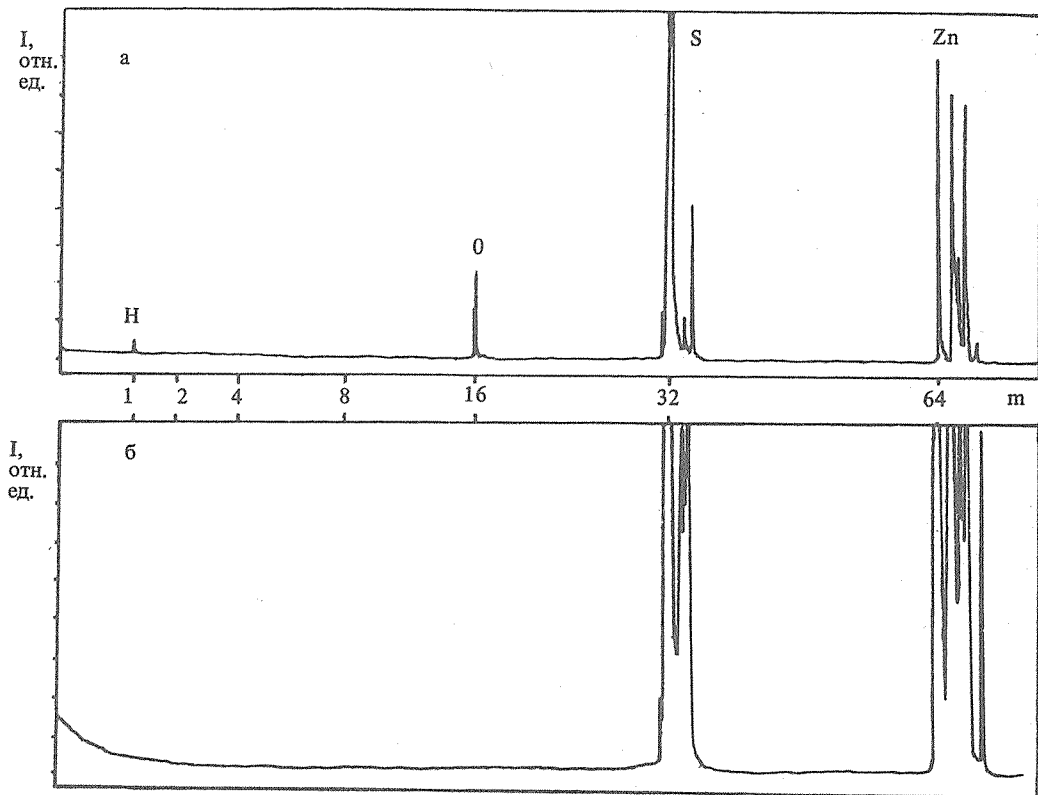


Рис. 1. Масс-спектрограммы двух образцов ZnS, выращенных в инертном газе без подпитки серой (а), с  $T_S = 342$  °С (б).

Анализ структуры полосы, связанной с кислородом, проводится на рис. 3, где представлены спектры катодолюминесценции образца, полученного в инертном газе с умеренной подпиткой серой ( $T_S = 312$  °С), при  $E = 30$  кэВ,  $j = 10^{-5}$  А·см<sup>2</sup> и двух температурах 33 и 47 К. Видно, что коротковолновая линия представляет собой дублет  $I_0^A$  и  $I_0^B$  с энергетическим расстоянием между линиями 5 мэВ. С увеличением температуры  $I_0^B$  уменьшается значительно быстрее  $I_0^A$ , исчезая из спектров при  $T > 50$  К. Аналогичные расщепления и температурная зависимость обнаружены для бесфононной линии излучения экситона, локализованного на изоэлектронном центре в ZnTe:O и GaP:N /5/, что связывается с электрон-дырочным  $j-j$  расщеплением. Причем низкоэнергетическая компонента отвечает запрещенному переходу с изменением полного момента  $\Delta J = 2$ . Исходя из этой аналогии, приходим к выводу, что коротковолновая линия излучения обусловлена излучательной аннигиляцией экситона, связанного с изолированным атомом O<sub>S</sub> с энергией связи  $\epsilon_{\text{св}} \approx 40$  мэВ.

Коротковолновое плечо компоненты  $I_0^A$  обусловлено эффектом перепоглощения. Другие детали спектра, кроме линии с  $\lambda_m = 334,3$  нм, хорошо сопоставляются с возможными фононными сателлитами бесфононной линии излучения экситона, указанными на рис. 3 стрелками. Линия с  $\lambda_m = 334,3$  нм, по-видимому, обусловлена новым центром, поскольку при  $T \approx 100$  К максимум полосы излучения, связанного с кислородом, находится на  $\lambda \approx 334$  нм. Мы связываем этот центр с двумя атомами кислорода, находящимися в ближайших узлах серной подрешетки. Тогда замазывание структуры в области 330  $\div$  334 нм

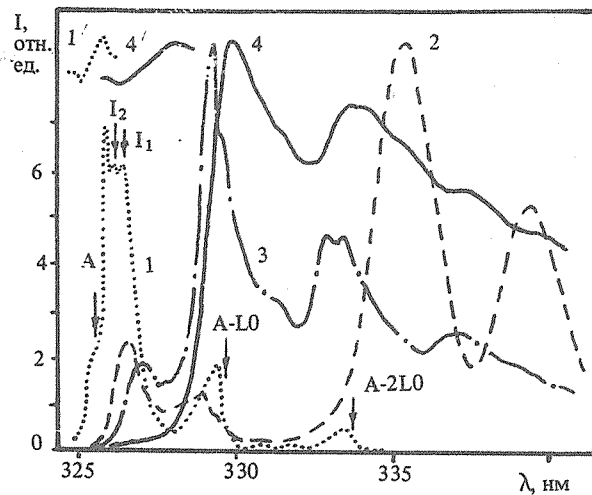


Рис. 2. Спектры оптического отражения (кривые 1' и 4') и спектры УФ катодолюминесценции (кривые 1÷4) образцов ZnS, выращенных в газовой смеси с водородом (1 и 1') и в инертном газе с  $T_S = 342^\circ\text{C}$  (2),  $301^\circ\text{C}$  (3) и без подпитки серой (4 и 4'),  $T = 35\text{ K}$ ,  $E = 10\text{ кэВ}$ ,  $j = 10^{-5}\text{ A}/\text{см}^2$ .

Рис. 3. Спектры катодолюминесценции образца ZnS, выращенного в инертном газе с  $T_S = 312^\circ\text{C}$ , при температурах 33 и 47 K (соответственно сплошная линия и пунктир),  $E = 30\text{ кэВ}$ ,  $j = 10^{-5}\text{ A}/\text{см}^2$ .

с увеличением концентрации кислорода (ср. кривые 3 и 4 на рис. 2), можно связать с увеличением числа центров, образованных дальними парами кислорода. Наблюдаемый с увеличением  $[O_S]$  длинноволновый сдвиг и уширение экситонной линии в спектре отражения (кривые 1' и 4' на рис. 2), по-видимому, связаны с сужением запрещенной зоны и образованием хвостов состояний вблизи потолка валентной зоны.

С увеличением уровня возбуждения вплоть до  $j = 300\text{ A}\cdot\text{см}^{-2}$  при  $E = 75\text{ кэВ}$  в кристаллах ZnS с  $[O_S] \sim 10^{20}\text{ см}^{-3}$  излучение, связанное с кислородом, остается доминирующим при  $T < 80\text{ K}$ , хотя его эффективность значительно уменьшается (более чем в 10 раз) по сравнению с уровнем возбуждения при  $j < 1\text{ A}\cdot\text{см}^{-2}$ . Оптическое усиление на этих кристаллах получить не удалось. Аналогичная зависимость катодолюминесценции от уровня возбуждения наблюдалась в кристаллах CdS:Te и ZnS:Te /6/.

Авторы благодарны Кузакову А.К. за проведение анализа образцов на масс-спектрометре LAMMA-1000.

## ЛИТЕРАТУРА

- Морозова Н.К., Кузнецов В.А. Сульфид цинка. М., Наука, 1987.
- Марков Е.В., Давыдов А.А. Изв. АН СССР. Неор. материалы, 11, 1755 (1975).
- Динов Ю.С. и др. Письма в ЖТФ, 10, 1373 (1984).
- Акимова И.В. и др. Труды ФИАН, 177, 142 (1987).
- Cuthbert J. D., Thomas D. G. Phys. Rev., 154, 763 (1967).
- Ахекян А.М., Козловский В.И., Коростелин Ю.В. ФТТ, 28, 11 (1986).

Поступила в редакцию 25 ноября 1987 г.

После переработки 20 января 1988 г.

